

中国科技论文统计源核心期刊
中国科学引文数据库核心期刊
中文核心期刊要目总览核心期刊
湖北省优秀期刊

Q K 2 0 4 0 7 7 2
CN 42-1107/M

JOURNAL OF CLINICAL RADIOLOGY

临床放射学杂志

LINCHUANG FANGSHE XUE ZAZHI



ISSN 1001-9324



06>

9 771001 932201

2020 · 6

第39卷(总第359期)

临床放射学杂志

LINCHUANG FANGSHE XUE ZAZHI

月刊 1982 年 3 月创刊

第 39 卷 第 6 期

(总第 359 期)

2020 年 9 月 2 日出版

主办

临床放射学杂志社
435000 湖北省黄石市杭州路 23-22 号

协办

华中科技大学同济医学院附属协和医院
首都医科大学附属北京友谊医院
北京大学第三医院

编辑

临床放射学杂志编辑委员会

出版

临床放射学杂志社
435000 湖北省黄石市杭州路 23-22 号
电话: (0714) 6222015
传真: (0714) 6260655
E-mail: lcfsszzsbj@163.com
网址: http://www.lcfsszz.com

名誉主编 冯敢生 孔祥泉

主编 郑传胜 韩萍

常务副主编 杨帆 史河水

总编辑 韩萍

头颈部放射学栏目主编 王振常

骨骼肌肉放射学栏目主编 袁慧书

技术探索栏目主编 杨正汉

社长 徐新前

副社长 何芳

排版

临床放射学杂志社编辑部

印刷

武汉科源印刷设计有限公司

发行

国内: 湖北省黄石市邮政局
国外: 中国国际图书贸易总公司
(北京 399 信箱, 100044)
代号: M6815

订购

全国各地邮政局
邮发代号: 38-57

邮购

临床放射学杂志社发行部
435000 湖北省黄石市杭州路 23-22 号
电话: (0714) 6222015

定价

每期 15 元, 全年 180 元

中国标准连续出版物号

ISSN 1001-9324
CN 42-1187/R

广告经营许可证号

4202025000021

2020 年版权归黄石市
医学科技情报所所有

本刊如有印装质量问题, 可向临床
放射学杂志社发行部调换

目 次

读片窗

- 颈髓髓内占位——请分析病变性质
..... 张鑫, 李淑豪, 龚良庚(封二)

神经放射学

- 成人髓母细胞瘤 12 例误诊的 MRI 表现及分析
..... 郑红伟, 彭晓博, 郑凌云等(1037)
大脑中动脉粥样硬化斑块 HRMRI 与缺血性卒中的相关性分析
..... 刘潇, 蒋涛, 宋焕等(1041)
非痴呆型血管性认知障碍患者海马氢质子磁共振波谱成像研究
..... 谈炎欢, 李俊晨, 胡春洪(1046)
不典型颅咽管瘤 MRI 特点及误诊分析
..... 王松, 李燕, 黄金昭等(1050)

头颈部影像学

- 扩散加权成像在甲状腺腺瘤和乳头状癌鉴别诊断中的价值
..... 陆瑜, 张蓓, 陈震等(1054)
原发性闭角型青光眼基于体素的形态学的 3.0 T MRI 研究
..... 叶印泉, 曾献军, 江菲等(1059)
基于头颈部 CTA 改良法的个性化扫描初探
..... 杨正彬, 谢惠, 吴绍全等(1064)
结节性甲状腺肿与甲状腺腺瘤 CT 诊断价值
..... 叶丽丽, 杜凡, 何祥发等(1069)
体素内不相干运动 MR 成像在诊断干燥综合征腮腺病变的应用研究
..... 冯倩倩, 储晨, 王振伟等(1074)
3.0 T 磁共振 T₂WI 联合高 b 值 DWI 对甲状腺微小乳头状癌的诊断价值
..... 张君, 王庆军, 张云等(1080)

乳腺影像学

- 数字乳腺断层合成摄影和 MRI 检查对乳腺癌诊断效能的比较
..... 黄新玲, 胡汉金(1085)

胸部影像学

- CT 定量技术在慢性阻塞性肺疾病不同临床表型患者中的应用价值
..... 李艳, 高俊刚, 郭佑民等(1090)
基于常规 CT 图像应用影像组学模型预测浸润性肺腺癌不同分化程度的价值
..... 单文莉, 柏根基, 孔丹等(1095)
不同类型的晕征在肺混合磨玻璃结节 CT 诊断中的价值
..... 马伟玲, 谭明瑜, 赵伟等(1099)
支气管炎型和肺气肿型 COPD 患者 CT 定量指标及肺功能的纵向变化研究
..... 李艳, 高俊刚, 郭佑民等(1104)

肝胆胰脾影像学

- 肝硬化背景下 MRI 肝脏影像报告和数据管理系统 2、3、4 类结节的纵向观察及分析 邢飞, 张学琴, 张涛等(1108)
MRI 联合 CA125 对 MVI 阴性肝癌术后复发的预测价值 韦云云, 覃云英, 廖海等(1113)

胃肠影像学

- 低剂量 CTC 联合 iDose⁴ 迭代重组技术在结直肠癌术前 TNM 分期中的应用 谢妹珍, 刘铁军, 颜俏燕等(1117)

泌尿生殖影像学

- 基于多参数 MR 影像组学方法预测前列腺癌患者骨转移 张文杰, 毛宁, 谢海柱等(1122)
IVIM-DWI 参数及纹理特征术前鉴别宫颈癌亚型的价值 李翠平, 李信响, 董江宁等(1127)
基于能谱曲线斜率鉴别肾透明细胞癌 WHO/ISUP 简化分级 韩冬, 周洁丽, 于勇等(1133)

肌肉骨骼影像学

- 动态 MRI 与动力位 X 线片在测量颈椎椎体间角度的对比分析 王晓琥, 廖俊城, 李智斐等(1139)
MAR 技术去除椎弓根钉伪影适宜 keV 重组参数研究 李杰, 李楠, 袁源等(1144)
急性骨髓炎脂肪球征的 MRI 表现 韩桂芬, 刘记存, 赵娜等(1148)
Revolution CT 物质分离技术探索腰椎椎旁肌内肌与脂含量随年龄的变化规律 高辉, 张堃, 黎芳丽等(1153)
前交叉韧带撕裂合并半月板 Ramp 损伤磁共振评价 星月, 姚伟武, 郁艳等(1157)
骨磷酸盐尿性间叶肿瘤的影像表现及文献复习 伍冬林, 冷西, 邱士军(1162)

技术探索

- 对比单、双指数模型扩散加权成像在鉴别前列腺良恶性病变中的应用研究 陈海东, 张洁, 谢丽芬等(1166)
螺旋 CT 多平面重组对无临床症状胆总管扩张的诊断价值 李曾, 侯金香, 姚大鹏等(1170)
对比剂注射方式在儿童头颈部 CT 动静脉血管成像中的应用 唐世龙, 刘先凡, 何玲等(1175)
MAR 技术去除脊柱金属物伪影的临床应用研究 李杰, 袁源, 陈永明等(1180)
Gd-EOB-DTPA 增强 MRI 定量评估肝脏储备功能参数对比研究 姜艳丽, 邹婕, 白玉萍等(1185)
常规 MRI 特征在预测弥漫性低级别胶质瘤 1p/19q 缺失状态的应用价值 潘婷, 苏春秋, 张璇等(1189)
定量分析 ADC 值及 DCE-MR 参数对前列腺癌伴精囊腺受侵的诊断价值 曾照军, 韩露露, 刘振华等(1195)
ADC 和 3D-ASL 不同感兴趣区勾画及测量方法对胶质瘤分级的影响 康晓伟, 席一斌, 郭钒等(1199)
多层螺旋 CT 曲面重组技术在早期胃癌术前病灶显示及临床 TN 分期中应用价值 何玉鹏, 高知玲, 贾晶等(1203)
平板 DSA-3DRA 融合技术及其在颅内动脉瘤栓塞术后的应用 尹姬, 余景科, 黄德俊等(1209)
低剂量胸部 CT 联合迭代重组技术在新型冠状病毒肺炎(COVID-19)患者复查中的价值初探 付雨菲, 邱晓明, 曹长健(1214)

实验研究

- 评估兔坐骨神经急性挤压伤扩散张量成像与肌电图对比研究 万齐, 余煌栋, 李新春等(1220)

综述

- CT 预测原发性肝细胞癌微血管侵犯研究进展 范艳芬, 郁义星, 胡梦洁等(1225)
影像学评估鼻咽癌抗血管生成治疗疗效的研究进展 廖丽萍, 黄振东, 金观桥等(1228)
能谱 CT 在颌面部及颈部疾病诊断中的应用 李泉江, 彭娟(1232)
乳腺 MRI 中背景实质强化的研究进展 陈诗, 彭淑怡, 陈乐庆等(1235)

机房一隅

- Toshiba Aquilion 64 排螺旋 CT 原始数据传输问题分析与检修 潘剑, 史进忠(1132)
Siemens AXIOM Artis DSA 通信故障分析与维修 朱伟, 方舸, 严郁等(1240)

信息窗

- 欢迎订阅《临床放射学杂志》 (1084)

JOURNAL OF CLINICAL RADIOLOGY

A monthly journal devoted to clinical radiology and allied sciences, Established in March 1982, owned and published by publishing house of journal of clinical radiology

Sponsor

Huangshi Institute for Medical Scientific and Technical Information
23-22, Hangzhou Road, Huangshi, Hubei 435000, China

Published-cooperate with

Beijing Friendship Hospital, Capital Medical University Peking University Third Hospital

Editing

Editorial Board of Journal of Clinical Radiology
23-22, Hangzhou Road, Huangshi, Hubei 435000, China
Tel: (0714) 6222015
Fax: (0714) 6260655

Publishing

Publishing House of Journal of Clinical Radiology
23-22, Hangzhou Road, Huangshi, Hubei 435000, China
Tel: (0714) 6222015
Fax: (0714) 6260655
E-mail: lcfsszzsbbj@163.com
http://www.lcfsszzs.com

Honorary Editor-in-Chief

FENG Gansheng KONG Xian-gquan

Editor-in-Chief

ZHENG Chuansheng HAN Ping

Standing Deputy Editor

YANG Fan SHI Heshui

Chief Editor

HAN Ping

Editor-in chief of the Head and Neck imaging Column

WANG Zhenchang

Editor-in chief of Musculoskeletal Radiology Section

YUAN Huishu

Editor-in chief of Technical Exploration Column

YANG Zhenghan

Proprieter

XU Xinqian

Deputy Proprieter

HE Fang

Typeset

Typesetting department, Publishing House of Journal of Clinical Radiology

Printing

Wuhan Keyuan Printing and Design Co. Ltd

Overseas Distributor

China International Book Trading Corporation
P. O. Box 399, Beijing, China
Code No. M6815

Contents of Original Article

MRI Features of Medulloblastoma in Adults and Misdiagnosis Analysis

ZHENG Hongwei, PENG Xiaobo, ZHENG Lingyun, et al (1037)

HRMRI Associated with Ischemic Stroke in Middle Cerebral Artery Atherosclerotic Plaque

LIU Xiao, JIANG Tao, SONG Huan, et al (1041)

Study of Magnetic Resonance Spectroscopy in Hippocampus in Patients with Vascular Cognitive Impairment no Dementia

TAN Yanhuan, LI Junchen, HU Chunhong (1046)

The MRI Features of Atypical Craniopharyngioma and Analysis on Misdiagnosis

WANG Song, LI Yan, HUANG Jinzhao, et al (1050)

Efficacy of Diffusion-Weighted MR Imaging in Differentiating Papillary Thyroid Carcinoma from Follicular Thyroid Adenoma

LU Yu, ZHANG Bei, LUAN Zhen, et al (1054)

A Voxel-based Morphometric 3.0 T MRI Study in Primary Angle-closure Glaucoma

YE Yinquan, ZENG Xianjun, JIANG Fei, et al (1059)

A Preliminary Study on Individualized Scanning Based on Improved Method of the Head and Neck CT Angiography

YANG Zhengbin, XIE Hui, WU Shaoquan, et al (1064)

Diagnostic Value CT of Nodular Goiter and Thyroid Adenoma

YE Lili, DU Fan, HE Xiangfa, et al (1069)

Application of Intravoxel Incoherent Motion MR Imaging to Diagnose Parotid Gland Abnormalities in Sjogren's Syndrome

FENG Qianqian, CHU Chen, WANG Zhenwei, et al (1074)

The Diagnostic Value of 3.0 T Magnetic Resonance T₂WI Combined with High b-value DWI for Papillary Thyroid Microcarcinoma

ZHANG Jun, WANG Qingjun, ZHANG Yun, et al (1080)

A Comparison of Diagnostic Efficacy of Breast Cancer Between Digital Breast Tomosynthesis and Magnetic Resonance Imaging

HUANG Xinling, HU Hanjin (1085)

Application Value of CT Quantitative Technique in Patients with Different Clinical Phenotypes of Chronic Obstructive Pulmonary Disease

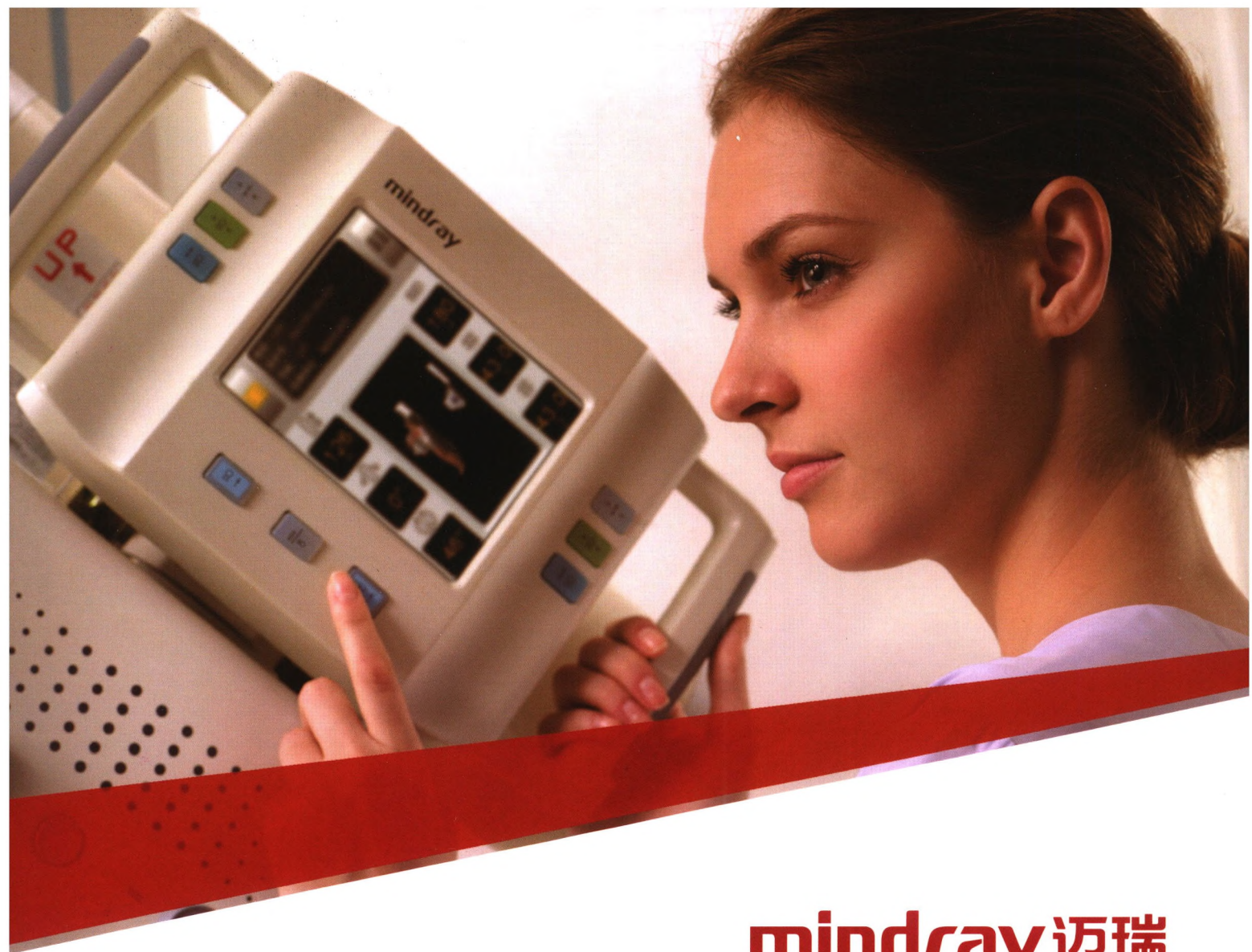
LI Yan, GAO Jungang, GUO Youmin, et al (1090)

CT Radiomics Model for Predicting Differentiated Degree of Lung Invasived Adenocarcinomas	
SHAN Wenli, BAI Genji, KONG Dan, et al	(1095)
The Diagnostic Value of Different Types of Halo Sign in Pulmonary Mixed Ground-Glass Nodules on CT	
MA Weiling, TAN Mingyu, ZHAO Wei, et al	(1099)
Longitudinal Changes of CT Quantitative Indexes and Lung Function in Patients with Bronchitis-Type and Emphysema-Type COPD	
LI Yan, GAO Jungang, GUO Youmin, et al	(1104)
Longitudinal Study of Liver Imaging Reporting and Data System LR-2,LR-3 and LR-4 Observations in Cirrhosis on MRI	
XING Fei, ZHANG Xueqin, ZHANG Tao, et al	(1108)
Predictive Value of Preoperative MR Imaging Combined with Serum CA125 for Postoperative Recurrence of MVI Negative Solitary Hepatocellular Carcinoma	
WEI Yunyun, QIN Yunying, LIAO Hai, et al	(1113)
Application of Low-Dose CTC Combined with iDose⁴ Iterative Reconstruction in Preoperative TNM Staging of Colorectal Cancer	
XIE Meizhen, LIU Tiejun, YAN Qiaoyan, et al	(1117)
Prediction of Bone Metastasis of Prostate Cancer Based on Multi-Parameter MRI Radiomics Method	
ZHANG Wenjie, MAO Ning, XIE Haizhu, et al	(1122)
Explore the Value of IVIM-DWI Parameters and Texture Features in the Preoperative Evaluation of Different Histological Types of Cervical Carcinoma	
LI Cuiping, LI Xinxiang, DONG Jiangning, et al	(1127)
The Differential Diagnosis in Clear-cell Renal Cell Carcinoma Simplified WHO/ISUP Grade Based on the Slope of Curve of Spectral CT	
HAN Dong, ZHOU Jieli, YU Yong, et al	(1133)
Comparative Analysis of Dynamic MRI and Dynamic Position X-ray Film in Measuring the Angle between Cervical Vertebrae	
WANG Xiaohu, LIAO Juncheng, LI Zhifei, et al	(1139)
Parameter Research of Suitable keV Recombination of MAR Technique on Removing Artifacts from Pedicle Screws	
LI Jie, LI Nan, YUAN Yuan, et al	(1144)
MRI Features of Fat Globules Sign for Acute Osteomyelitis	
HAN Guifen, LIU Jicun, ZHAO Na, et al	(1148)
Changes in Fat and Muscle Contents of Lumbar Paraspinal Muscles with Aging by Using Revolution CT Material Decomposition Techniques	
GAO Hui, ZHANG Kun, LI Fangli, et al	(1153)
Evaluation of Meniscal RAMP Lesions on Magnetic Resonance Imaging After Anterior Cruciate Ligament Rupture	
XING Yue, YAO Weiwu, XI Yan, et al	(1157)
Imaging Features of Osseous Phosphaturic Mesenchymal Tumor and Literature Review	
WU Donglin, LENG Xi, QIU Shijun	(1162)
Diffusion-weighted Imaging Based on Mono-exponential and Bi-exponential Models: A Comparative Study in Differential Diagnosis of Benign and Malignant Prostate Lesions	
CHEN Haidong, ZHANG Jie, XIE Lifen, et al	(1166)

(下转封三)

(上接目录尾页)

Diagnosis Value of Spiral CT Multiplanar Reconstruction in Choledochectasia without Symptoms	
LI Ceng, HOU Jinxiang, YAO Dapeng, et al	(1170)
Application of Contrast Injection Method in CT Arteriovenous Angiography of Head and Neck in Children	
TANG Shilong, LIU Xianfan, HE Ling, et al	(1175)
Clinical Application of MAR Technique in Removing Metal Artifacts in the Spine	
LI Jie, YUAN Yuan, CHEN Yongming, et al	(1180)
Quantitative Evaluation of Different Parameters of Hepatic Functional Reserve on Gd-EOB-DTPA-enhanced MRI	
JIANG Yanli, ZOU Jie, BAI Yuping, et al	(1185)
Application of Conventional MRI Features in Predicting the 1p/19q Status in Diffuse Lower Grade Gliomas	
PAN Ting, SU Chunqiu, ZHANG Xuan, et al	(1189)
Diagnostic Value of Quantitative Analysis of ADC Value and DCE-MR Parameters for Prostate Cancer with Seminal Vesicle Invasion	
ZENG Zhaojun, HAN Lulu, LIU Zhenhua, et al	(1195)
The Effect of Different ROI Placing and Measuring Methods on ADC and 3D-ASL for Grading of Gliomas	
KANG Xiaowei, XI Yibin, GUO Fan, et al	(1199)
The Value of Curved Planar Reformation Technology of MSCT in Manifestation and Clinical TN Staging of Early Gastric Cancer	
HE Yupeng, GAO Zhiling, JIA Jing, et al	(1203)
Application of 3DRA Clone Fusion Technique in Embolization of Intracranial Aneurysm	
YIN Ji, YU Jinke, HUANG Dejun, et al	(1209)
The Value of Low-dose Chest CT Combined with Iterative Reconstruction in the Review of Patients with COVID-19 after Intracavitary Contrast Medium Injection	
FU Yufei, QIU Xiaoming, CAO Changjian	(1214)
Evaluation of Acute Crush Injury of The Sciatic Nerve in Rabbits: A Comparative Study of Diffusion Tensor Imaging and Electromyography	
WAN Qi, YU Yudong, LI Xinchun, et al	(1220)



mindray 迈瑞

Levels 多面手 一手掌控

图像采集工作站软件

- 多界面同屏，一览无余
- 自定义模块，按需布局
- 智能工作流，轻松自如

DigiEye680
数字化医用X射线摄影系统
粤食药监械（准）字2014第2301343号

深圳迈瑞生物医疗电子股份有限公司
总部：深圳市南山区高新技术产业园区科技南十二路迈瑞大厦1-4层
粤医械广审（文）第2018050801号
禁忌内容或注意事项详见说明书。

